

©1994

НИЗКОТЕМПЕРАТУРНАЯ РЕЛАКСАЦИЯ НАПРЯЖЕНИЙ И АКТИВАЦИОННЫЙ ОБЪЕМ В МЕТАЛЛИЧЕСКИХ СТЕКЛАХ

О.П.Бобров, И.А.Сафонов, В.А.Хоник

Исследована релаксация напряжений в металлических стеклах в интервале температур $5 \leq T \leq 293$ К. Показано, что кинетика релаксации может быть описана уравнениями, применяемыми для термоактивационного анализа дислокационной деформации кристаллов. Абсолютные значения активационного объема и характер его температурной зависимости подтверждают предположение о дислокационно-подобном механизме локализованного течения металлических стекол, реализующегося в условиях кинетически заторможенной структурной релаксации.

Исследования [1–3] релаксации напряжений и возврата формы дали веские основания предполагать, что комнатная температура играет особую роль в физике пластического течения металлических стекол. Причина в том, что образцы длительно хранятся при этой температуре перед началом испытаний. За это время скорость необратимой структурной релаксации (обратно пропорциональная времени выдержки [1]) становится малой (так что $\tau_r \ll \tau_d$, где τ_r — постоянная времени структурной релаксации, τ_d — характерное время нагружения), определяя границу между двумя различными способами формоизменения. 1) При $T > 293$ К пластическое течение происходит в условиях интенсивной структурной релаксации и носит гомогенный вязкий характер. Это течение может быть интерпретировано как структурная релаксация, ориентированная полем внешних напряжений [1–4]. 2) При $T \leq 293$ К элементарные акты сдвига являются коррелированными, вызывая распространение фронта локализованного сдвига. Гилман [5] впервые предложил интерпретировать механизм такого гетерогенного течения как движение дислокаций с переменным вектором Бюргерса, среднее значение которого определяется средним межатомным расстоянием. Впоследствии эта идея развивалась и подкреплялась экспериментальными фактами [6–11].

В области $T > 293$ К τ_r мало, обусловливая высокую скорость процессов релаксации приложенного напряжения, которые в этой температурной области изучены экспериментально относительно хорошо (соответствующий обзор информации приведен в [1, 9]). Иначе обстоит дело с температурной областью $T \leq 293$ К. Выполняющееся в этой области условие $\tau_r/\tau_d \gg 1$ определяет крайне низкую скорость и степень релаксации напряжений, делая необходимым применение специальных прецизионных испытательных машин. По-видимому, в силу

этого релаксации напряжений при $T \leq 293$ К изучена мало (некоторая экспериментальная информация приведена в [1, 8, 9, 12]). Кроме того, вышесказанные предположения о механизме деформации в этом температурном интервале делают необходимым определение активационных параметров релаксации и их температурной зависимости. Таких попыток, однако, не предпринималось. В настоящей работе представлены результаты экспериментального исследования релаксации напряжений в двух металлических стеклах в интервале температур 5–293 К и определения активационного объема релаксации.

1. Методика эксперимента

Для исследований были выбраны изученные во многих аспектах магнитомягкие металлические стекла $\text{Co}_{70}\text{Fe}_5\text{Si}_{15}\text{B}_{10}$ и $\text{Fe}_{40}\text{Ni}_{40}\text{P}_{14}\text{B}_6$, полученные стандартным методом спиннингования в виде лент толщиной 25–30 μ . Аморфность контролировалась рентгеновским методом. Для измерений из ленты с помощью специального устройства типа гильотинных пресс-ножниц вырезались образцы длиной ≈ 25 и шириной 1–2 mm. Механические испытания проводились с помощью специально изготовленной деформационной машины струнного типа, описанной в [12]. Образец (рабочей длиной $l \approx 20$ mm) в процессе деформации возбуждался на резонансной частоте f , которая связана с приложенным напряжением σ соотношением $\sigma = 4\rho f^2 l^2$, где ρ — плотность материала, определявшаяся гидростатическим взвешиванием. Погрешность определения σ оценивалась в 5–7%. Погрешность определения изменения напряжения для данного образца в режиме релаксации напряжений была не хуже 0.1 MPa даже при высоких напряжениях (2000–2500 MPa). Жесткость машины оценивалась как $k > 4 \cdot 10^7$ N · m. Измерения проводились в вакууме $\sim 10^{-1}$ Pa при $T = 5, 78$ и 293 K. При гелиевой и азотной температурах для устранения тепловых нестационарностей вдоль тяг испытательной машины производилась 30-минутная выдержка после заливки охлаждающих жидкостей. Проведение экспериментов с приемлемой точностью при температурах, отличающихся от указанных, оказалось невозможным из-за наличия нестационарного распределения температуры вдоль тяг машины.

Схема эксперимента заключалась в следующем. Образец металлического стекла $\text{Co}_{70}\text{Fe}_5\text{Si}_{15}\text{B}_{10}$ ($\text{Fe}_{40}\text{Ni}_{40}\text{P}_{14}\text{B}_6$) нагружался со скоростью $6 \cdot 10^{-4}$ S⁻¹ до $\sigma_{01} \approx 750$ MPa (500 MPa), измерялась релаксация напряжений в течение часа, затем следовало догружение до $\sigma_{02} \approx 1500$ MPa (1000 MPa), второе измерение релаксации напряжений, догружение до $\sigma_{03} \approx 2250$ MPa (1500 MPa) и третье измерение релаксации напряжений в течение часа. Самые высокие значения σ_0 соответствовали примерно 90% от предела прочности σ_f исследуемых сплавов. Диаграммы напряжение–деформация при $0 \leq \sigma \leq (0.7–0.8)\sigma_f$ были близки к прямым, и лишь при больших напряжениях наблюдалось незначительное отклонение от линейности.

2. Результаты и обсуждение

Кривые релаксации напряжений для исследуемых металлических стекол при $T = 5, 78$ и 293 K показаны на рис. 1, a, b. В целом кривые $\sigma(t)$ для разных сплавов с учетом разницы в пределах прочности (для

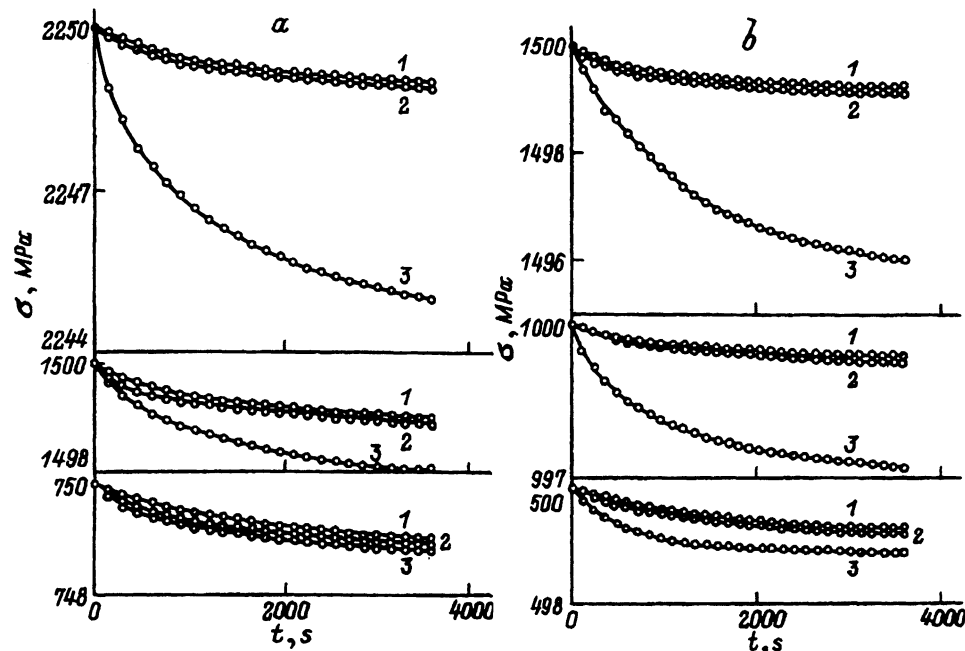


Рис. 1. Релаксация напряжений в металлических стеклах $\text{Co}_{70}\text{Fe}_5\text{Si}_{15}\text{B}_{10}$ (а) и $\text{Fe}_{40}\text{Ni}_{40}\text{P}_{14}\text{B}_6$ (б) при различных температурах (1 — 5, 2 — 78, 3 — 293 К) и уровнях нагружения.

использовавшихся лент $\text{Co}_{70}\text{Fe}_5\text{Si}_{15}\text{B}_{10}$ $\sigma_f \approx 2350, 2720$ и 2580 МПа при $T = 5, 78$ и 293 К соответственно; для МС $\text{Fe}_{40}\text{Ni}_{40}\text{P}_{14}\text{B}_6$ $\sigma_f \approx 1600, 1820$ и 1780 МПа при тех же температурах) полностью аналогичны. Прежде всего следует отметить малую степень релаксации, максимальная величина которой (кривая 3 на рис. 1, а) не превышает 0.27% от уровня приложенного напряжения. При $5 \leq T \leq 78$ К степень релаксации мало зависит от температуры и уровня нагрузки, а при комнатной температуре заметно возрастает с повышением σ_0 .

Таким образом, можно заключить, что в условиях кинетически застороженной структурной релаксации ($T \leq 293$ К), обеспечиваемых длительным предварительным отжигом образцов при комнатной температуре, неупругая податливость металлических стекол очень мала. Это может быть связано как с низкой плотностью, так и с низкой подвижностью дефектов, активируемых приложением нагрузки.

Определение активационного объема релаксации производилось двумя известными способами [13] термоактивационного анализа дислокационной деформации кристаллов. Первый из них не содержит исходных предположений о механизме деформации и основан на уравнении Аррениуса для скорости термоактивируемой деформации $\dot{\varepsilon}$

$$\dot{\varepsilon} = -\frac{\dot{\sigma}}{M} = \dot{\varepsilon}_0 \exp\left(-\frac{U - \sigma^* V}{kT}\right), \quad (1)$$

где $\dot{\varepsilon}_0 = \text{const}$, U — энергия активации, V — активационный объем, σ^* — эффективное напряжение ($\sigma^* = \sigma - \sigma_i$, σ — приложенное,

σ_i — внутреннее напряжение), M — эффективный модуль системы образец-машина. Из уравнения (1) следует, что в случае его выполнимости зависимость $\ln(-\dot{\sigma}) = f(\sigma^*)$ должна являться прямой с угловым коэффициентом, равным V/kT .

Второй использовавшийся способ расчета активационного объема основан на использовании эмпирического соотношения для скорости дислокаций, полученного Джонстоном и Гилманом [13], которое для скорости релаксации дает

$$-\dot{\sigma} = A\sigma^m, \quad (2)$$

где m — параметр релаксации, $A = \text{const}$, если плотность ответственных за релаксацию дефектов не меняется в процессе релаксации. В этом случае активационный объем при условии постоянства внутренних напряжений в процессе релаксации равен [13]

$$V = kTm/\sigma. \quad (3)$$

Анализ эксперимента производился следующим образом. Исходные релаксационные кривые с помощью машинной программы аппроксимировались кубическим сплайн-функциями, которые затем аналитически дифференцировались и рассчитывались зависимости $\ln(-\dot{\sigma}) = f(\sigma)$ и $\ln(-\dot{\sigma}) = f(\ln \sigma)$. Полученные зависимости оказывались близкими к прямым. Для количественной характеристики спрямления вычислялся коэффициент парной корреляции

$$R = \frac{\sum_{k=1}^N x_k y_k - \left(\sum_{k=1}^N x_k \sum_{k=1}^N y_k \right) / N}{\sqrt{\sum_{i=k}^N x_k^2 - \left(\sum_{k=1}^N x_k^2 \right) / N} \sqrt{\sum_{k=1}^N y_k^2 - \left(\sum_{k=1}^N y_k^2 \right) / N}},$$

где $y_k = \ln(-\dot{\sigma}_k)$, $x_k = \sigma_k$ (или $x_k = \ln \sigma_k$) — координаты k -й точки вышеуказанных зависимостей, N — число точек. Для точек прямой $R = 1$. В наших расчетах среднее значение R (для 36 обработанных зависимостей) составило 0.872 со среднеквадратичным отклонением, равным 0.09. Затем с использованием метода наименьших квадратов определялись соответствующие уравнения прямых, с помощью которых рассчитывался активационный объем. Расчеты двумя вышеуказанными способами дали практически идентичные результаты: среднее отклонение результатов вычислений по уравнению (1) от соответствующих величин, определенных по формуле (3), составило 4%.

Результаты расчетов активационного объема при различных температурах и уровнях нагружения показаны на рис. 2, а. В целом активационный объем уменьшается с понижением температуры от 3–20 нм³ при $T = 293$ К до 0.15–0.30 нм³ при $T = 5$ К, что в единицах b^3 (b — среднее межатомное расстояние, принимавшееся для исследованных сплавов равным 0.25 нм) соответствует изменениям от 200–1200 до 10–20. Зависимость активационного объема от уровня приложенного напряжения весьма существенна при $T = 293$ К. С увеличением σ_0 от $\sim 0.3\sigma_f$

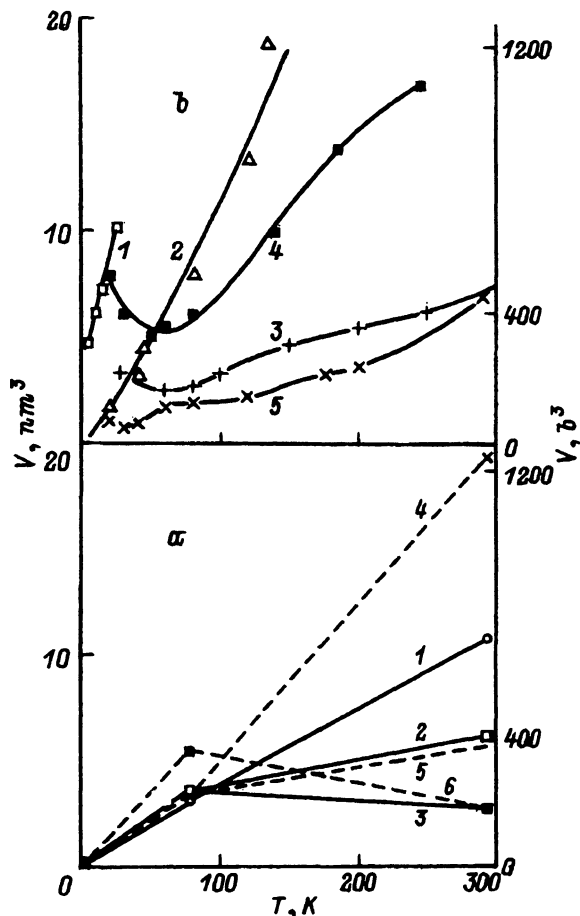


Рис. 2. Температурные зависимости активационного объема для исследуемых металлических стекол (а) и металлических монокристаллов (б).

а: сплошные линии — металлическое стекло $\text{Co}_{70}\text{Fe}_5\text{Si}_{15}\text{B}_{10}$, штриховые — металлическое стекло $\text{Fe}_{40}\text{Ni}_{40}\text{P}_{14}\text{B}_6$. Начальные уровни нагрузки σ_0 : 1 — 500, 2 — 1000, 3 — 1500, 4 — 750, 5 — 1500, 6 — 2250 МПа (б — среднее межатомное расстояние); б: 1 — Pb [14], 2 — Cu [15], 3 — Cu-14% Al [15], 4 — Cu-3% Ge [16], 5 — Cu-7.6% Mg [17] (б — вектор Бюргерса).

до 0.9 σ_f активационный объем снижается от 10–20 до $\approx 3 \text{ nm}^3$. В случае более низких температур зависимость $V(\sigma_0)$ значительно ослабляется: при $T = 77 \text{ K}$ $V \approx 3.3 \text{ nm}^3$ и практически не зависит от σ_0 (за исключением случая $\sigma_0 = 1500 \text{ MPa}$ для металлического стекла $\text{Fe}_{40}\text{Ni}_{40}\text{P}_{14}\text{B}_6$, для которого $V = 5.9 \text{ nm}^3$), а при $T = 5 \text{ K}$ V растет от 0.15 до 0.30 nm^3 с ростом σ_0 .

При обсуждении полученных результатов следует прежде всего отметить, что установленный факт линейности зависимостей $\ln(-\dot{\sigma}) - \sigma$ свидетельствует о том, что концентрация ответственных за релаксацию дефектов и уровень внутренних напряжений остаются постоянными в процессе релаксации. В силу малости скорости и степени релаксации в описанных экспериментах этот вывод представляется есте-

ственным. При этом неизменность σ ; позволяет использовать в правой части (1) не эффективные, а приложенные напряжения, что и делалось в приведенных расчетах.

Совпадение расчетов активационного объема по различным моделям неудивительно вследствие большого значения t : в [13] отмечалось, что выбор одной из двух указанных моделей при больших t затруднителен (в наших расчетах $t \geq 10^3$). Между тем рассматриваемые модели предполагают различные профили силовых барьеров для движения ответственных за релаксацию дефектов. Профиль силового барьера для первой модели (уравнение (1)) — прямоугольник (это приводит к независимости активационного объема от напряжения), а для второй модели (уравнение (2)) — гипербола [13] и V в соответствии с (3) обратно пропорционален σ . Последняя ситуация реализуется в случае измерений при комнатной температуре (такой же характер зависимости $V(\sigma)$ был установлен и для других металлических стекол при комнатной температуре [8]), и поэтому можно полагать, что для описания релаксации в этих условиях следует использовать уравнение (2). Вместе с тем, как отмечалось ранее, при $T = 78$ и 5 К наблюдается тенденция к ослаблению зависимости $V(\sigma)$, что делает более предпочтительным применение уравнения (1) при этих температурах. Отмеченное позволяет предположить, что при понижении температуры испытаний в интервале $293 > T > 78$ К меняется микроскопический характер элементарного акта пластической деформации.

На рис. 2,б показаны некоторые литературные данные [15–18] по температурным зависимостям активационного объема металлических кристаллов, деформирующихся по дислокационному механизму. Из сопоставления рис. 2,а и б видно, что в целом как по характеру зависимости $V(\sigma)$, так и по абсолютным величинам активационного объема поведение металлических стекол близко к поведению кристаллов. Это еще раз подтверждает разумность предположения о дислокационном характере гетерогенной деформации металлических стекол, реализующейся в условиях кинетически заторможенной структурной релаксации. Об этом же свидетельствует и факт применимости специфического «дислокационного» уравнения (2) для описания кинетики релаксации.

Авторы выражают признательность В.З. Бенгусу за помощь в работе.

Работа получила частичную финансовую поддержку Международного научного фонда.

Список литературы

- [1] Дзюба Г.А., Золотухин И.В., Косилов А.Т., Хоник В.А. // ФТТ. 1991. Т. 33. № 11. С. 3393–3398.
- [2] Косилов А.Т., Кузьмищев В.А., Хоник В.А. // ФТТ. 1992. Т. 34. № 12. С. 3682–3690.
- [3] Khonik V.A., Kosilov A.T., Kuzmitshev V.A., Dzuba G.A. // Acta Met. et Mater. 1992. V. 40. N 6. P. 1387–1393.
- [4] Косилов А.Т., Хоник В.А. // Изв. РАН. Сер. физ. 1993. Т. 57. № 1. С. 192–198.
- [5] Gilman J.J. // J.Appl. Phys. 1973. V. 44. N 2. P. 675–679.
- [6] Li J.C.M. // Metallurg. Trans. 1985. V. 16A. N 7–12. P. 2227–2230.
- [7] Zolotukhin I.V., Belyavskii V.I., Khonik V.A., Ryabtseva T.N.// Phys. Stat. Sol. (a). 1990. V. 116. N 1. P. 255–265.

- [8] Косилов А.Т., Хоник В.А., Рябцева Т.Н. // Металлофизика. 1990. Т. 12. № 3. С. 37–41.
- [9] Алексин В.П., Хоник В.А. Структура и физические закономерности деформации аморфных сплавов. М.: Металлургия, 1992.248 с.
- [10] Овидько И.А. Дефекты в конденсированных средах: стеклах, кристаллах, квазикристаллах, жидких кристаллах, сверхтекучих жидкостях. Л., 1991. 247 с.
- [11] Хоник В.А., Сафонов И.А., Рябцева Т.Н. // ФТТ. 1993. Т. 35. № 9. С. 2575–2583.
- [12] Золотухин И.В., Хоник В.А., Сафонов И.А. // Физика и химия стекла. 1983. Т. 9. № 1. С. 67–73.
- [13] Доценко В.И., Ландау А.И., Пустовалов В.В. Современные проблемы низкотемпературной пластичности материалов. Киев: Наукова думка, 1987. 162 с.
- [14] Johnston W.G., Gilman J.J. // J. Appl. Phys. 1959. V. 30. N 2. P. 129–144.
- [15] Осецкий А.И., Солдатов В.П., Старцев В.И. // Физика металлов и металловедение. 1974. Т. 38. № 3. С. 604–611.
- [16] Комник С.Н., Демирский В.В., Библик И.В. // Физика металлов и металловедение. 1980. Т. 50. № 3. С. 602–611.
- [17] Wille Th., Gieseke W., Schwick Ch. // Acta Met. 1987. V. 35. N 11. P. 2679–2693.
- [18] Wille Th., Schwick Ch. // Acta Met. 1986. V. 34. N 6. P. 1059–1069.

Воронежский государственный
педагогический институт

Поступило в Редакцию
5 января 1994 г.